

ТЕОРИЯ  
МЕТАЛЛОВ

УДК 539.216.2:537.611.3

**ДРЕЙФ СКРУЧЕННОЙ ДОМЕННОЙ ГРАНИЦЫ  
В ПЕРПЕНДИКУЛЯРНО НАМАГНИЧЕННЫХ ПЛЕНКАХ  
ОДНООСНЫХ ФЕРРОМАГНЕТИКОВ**

© 2008 г. Г. Е. Ходенков

*Институт электронных управляющих машин, 125502 Москва, ул. Лавочкина, 12*

Поступила в редакцию 28.08.2007 г.

Рассматривается дрейфовое движение скрученной доменной границы (СДГ) в сильном магнитном поле, циркулярно поляризованном в плоскости перпендикулярно намагниченной пленки. Скрученность понижает порог режима стационарного продвижения СДГ по скорости и частоте вращающегося поля по сравнению с пространственно одномерным случаем ДГ типа Блоха или Нееля. Определена зависимость границы оптимального с экспериментальной точки зрения наблюдения дрейфа СДГ в режиме стационарного движения от отношения ширины блоховской линии к толщине пленки.

PACS: 75.70.Kw

1. ВВЕДЕНИЕ

Распространенным объектом экспериментальных исследований динамики доменных границ (ДГ) служат перпендикулярно намагниченные пленки одноосных ферромагнетиков (часто – пленки редкоземельных ферритов-гранатов). Такие пленки характеризуются неравенством  $Q \equiv H_a/4\pi M > 1$ , где  $Q$  – фактор качества;  $M$  – намагниченность;  $H_a$  – эффективное поле одноосной анизотропии, которое перпендикулярно поверхностям пленки. Структура 180-градусных ДГ в них, за счет действия размагничивающих полей на спины внутри ДГ, становится неоднородной по толщине пленки (двумерной) и носит название “скрученной”. Динамика скрученных ДГ (СДГ) радикально отличается от динамики одномерных ДГ (Блоха или Нееля) [1].

Переходя к дрейфу ДГ – ее среднему поступательному перемещению в осциллирующих магнитных полях, – отметим, что первые теоретические работы в этом направлении [2–4] (см. также обзор в [1]) ограничивались при вычислении скорости ДГ лишь квадратичным приближением по малым амплитудам внешних полей. Механизм дрейфа в этом приближении состоит в том, что в условиях принудительной прецессии под действием осциллирующих магнитных полей спины в глубинах соседствующих с 180-градусной ДГ доменов обладают различной земановой энергией, что и обуславливает исчезающее при усреднении по времени внутреннее давление на плоскость ДГ и ее поступательное перемещение [2, 1]. Таким образом, структура ДГ в указанном приближении не вносит вклада в скорость дрейфа ДГ, по крайней мере, в ведущем приближении. (Например, в [2] используются только малые компоненты наведенных намагниченностей, ли-

нейно зависящие от возбуждающего поля через тензор восприимчивости однородно намагниченных доменов, и совершенно не учитываются спины внутри ДГ.)

Сугубо нелинейная теория дрейфа для пространственно одномерных ДГ была построена в [5, 6] за счет ограничения класса ферромагнетиков материалами с  $Q > 1$ . Для рассматриваемого далее случая, циркулярно поляризованного в базисной плоскости одноосного ферромагнетика сильного магнитного поля  $H$  ( $8M < H < H_a$ ) и частот  $\omega$ , лежащих ниже частоты ФМР, в [5] был обнаружен механизм дрейфа ДГ, отличающийся от [2–4]. Дрейф возникает за счет увлечения спинов, локализованных внутри ДГ, вслед за вращающимся магнитным полем, причем вклад спинов в доменах не учитывается, так как он  $\sim 1/Q$ . Понятно, что в рамках данного механизма учет внутренней структуры ДГ, в перпендикулярно намагниченных пленках – скрученности, становится необходимым (исключением здесь могут служить лишь очень тонкие пленки, в которых вклад скрученности подавляется [7–12]).

В настоящей работе результаты [5], относящиеся к дрейфу блоховской ДГ во вращающемся в базисной плоскости ферромагнетика сильном магнитном поле, обобщаются на случай СДГ. Основное внимание уделяется определению частоты вращающегося поля, при которой происходит срыв стационарного режима дрейфа. Эта частота линейно связана с некоторой критической скоростью СДГ, которую можно рассматривать как аналог известной для динамики СДГ в постоянном магнитном поле величины – скорости, при которой в СДГ происходит нуклеация первой горизонталь-

ной блоховской линии (“скорости нуклеации ГБЛ”) [1] и происходит переход в нестационарный режим.

## 2. УРАВНЕНИЯ ДВИЖЕНИЯ, ЧИСЛЕННЫЕ РЕЗУЛЬТАТЫ

Поместим начало координат в серединной плоскости пленки (толщины  $h$ ), и ось  $0z$  направим перпендикулярно ее плоскостям. Плоскость СДГ совместим с плоскостью  $x0z$  и будем считать, что намагниченности в доменах  $\mathbf{M}(y \rightarrow \pm\infty, t) \rightarrow \mp M\mathbf{e}_z$ . Поскольку  $Q > 1$ , то с точностью до  $1/Q$  вместо уравнений Ландау–Лифшица применимы уравнения Слончевского. Положения центра СДГ  $q(z, t)$  на оси  $0y$  и азимутальный угол  $\psi(z, t)$  вектора намагниченности  $\mathbf{M}(y - q(t), z, t)$  в центре ДГ удовлетворяют следующим уравнениям и граничным условиям на поверхностях пленки

$$\dot{\psi} + \alpha \dot{q} - H_z = \varepsilon^2 q''; \quad (1.1)$$

$$\begin{aligned} \dot{q} - \alpha \dot{\psi} = & -\varepsilon^2 \psi'' + \\ & + (\sin \psi - H_z(z)) \cos \psi + H_r \sin(\psi - \omega t); \end{aligned} \quad (1.2)$$

$$\begin{aligned} \psi'(z = 1, t) = \psi'(z = -1, t) = q'(z = 1, t) = \\ = q'(z = -1, t) = 0. \end{aligned} \quad (1.3)$$

Здесь точки и штрихи над зависимыми переменными обозначают соответственно производные по времени  $t$  и координате  $z$ ; зеэманов вклад дается полем  $H_r > 0$ , вращающимся в плоскости пленки с частотой  $\omega$ ; первые члены справа в (1.1)–(1.2) – вклады неоднородного обменного взаимодействия; второй член справа в (1.2) – магнитостатические вклады (первый в скобках – локальный вклад, второй – вклад “магнитных полюсов” на поверхностях пленки в доменах, поле от которых  $H_y(z) = \text{arth}(z)$  приводит к скрученности ДГ);  $\alpha$  – параметр затухания Гильберта;  $\varepsilon = 2\Lambda/h$ , где  $\Lambda = \sqrt{Q}\Delta$  – параметр ширины блоховской линии ( $\Delta$  – параметр ширины блоховской ДГ). Уравнения (1) безразмерны:  $z$  измеряется в единицах  $h/2$ ,  $t - 1/(4\pi\gamma M)$  ( $\gamma > 0$  – магнитомеханическое отношение),  $H_z - 4\pi M$ ,  $H_r$  и  $H_y(z) - 8M$ ,  $\omega - 4\pi\gamma M$ ,  $q - \Delta$ , скорость СДГ  $\dot{q} - 4\pi\gamma M\Delta$ . Поскольку динамика СДГ изучалась преимущественно в поле  $H_z$ , направленном по оси  $z$ , то для сравнительных целей оно введено в систему (1), где представлено в единицах  $4\pi M$ .

Прежде чем переходить к исследованию системы (1), напомним некоторые результаты одномерного анализа (в (1) следует положить  $\varepsilon = 0$  и не учитывать поле  $H_y(z)$ ) [5]. Введем угловую фазу  $\Phi = \psi - \omega t$  между векторами вращающегося поля и намагниченностью в центре СДГ и воспользуемся условием  $H_r > 1$ , позволяющим в первом приближении не учитывать слагаемое  $\sin\psi\cos\psi$ . Система (1) обнаруживает в этих предположениях

два режима движения: стационарный режим  $\Phi = \Phi_0 = \text{const}$ ,  $\dot{q} = \dot{q}_0 = \text{const}$  при частотах внешнего поля  $\omega < \omega_c$ :

$$\begin{aligned} \dot{q}_0 = -\omega/\alpha, \quad \sin \Phi_0 = -(1 + \alpha^2)\omega/\alpha H_r; \\ \omega_c = \alpha H_r/(1 + \alpha^2), \quad |\dot{q}_0| \leq |\dot{q}_c| = H_r/(1 + \alpha^2) \end{aligned} \quad (2)$$

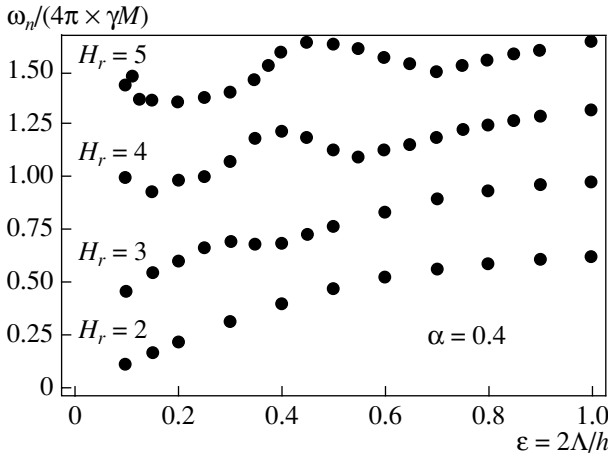
и прецессионный режим при  $\omega > \omega_c$ , когда средняя скорость ДГ (т.е. ее дрейфа), достигнув  $|\dot{q}_c|$ , спадает монотонно с ростом частоты как  $\dot{q}(\omega \rightarrow \infty) > > \infty/1/\omega$ . Влияние колебаний намагниченности, вызываемых действием члена  $\sin\psi\cos\psi$ , на стационарный режим (2) при  $H_r > 1$ , согласно [5], незначительно. Оптимальным для экспериментального наблюдения служит, конечно, первый из режимов.

Переходя к численному интегрированию системы (1) для СДГ, отметим, что динамика СДГ также обнаруживает два режима движения, аналогичные указанным выше. Ниже будет рассматриваться только режим, когда движение СДГ можно представить в виде

$$\dot{q}(z, t) = \dot{q}_{00} + \delta\dot{q}(z, t), \quad \Phi(z, t) = \Phi_{00} + \delta\Phi(z, t), \quad (3)$$

где  $\delta\dot{q}(z, t)$  и  $\delta\Phi(z, t)$  – неоднородные осцилляции скорости и фазы с нулевым средним вблизи постоянных величин  $\dot{q}_{00}$  и  $\Phi_{00}$ . Однако теперь стационарный режим ограничивается частотой  $\omega_n$ , лежащей ниже  $\omega_c$  – соответствующей величины в одномерном случае:  $\omega < \omega_n < \omega_c$  (см. (2), то же относится и к скорости СДГ:  $\dot{q}_n < \dot{q}_c$ ). Частота  $\omega_n$  (или соответствующая ей скорость  $\dot{q}_n$ ) определяют порог нуклеации в СДГ первой горизонтальной блоховской линии (ГБЛ). В области больших толщин пленок ( $\omega < 1$ ) вблизи одной из поверхностей пленки в СДГ образуется хорошо локализованная 360-градусная ГБЛ; при  $\varepsilon \sim 1$  пространственное возмущение структуры по координате  $z$  менее выражено и его резкой локализации не наблюдается. За порогом нуклеации происходит перемещение 360-градусной ГБЛ по всей толщине пленки и, в зависимости от величины  $H_r$ , – их множественное зарождение. Отметим, что в постоянном поле  $H_z$  имеет место несколько иная картина [1]: при  $\dot{q}_n$  вблизи поверхности пленки возникает ГБЛ малой мощности, которая, смещаясь к противоположной поверхности, постепенно становится  $\sim 360$ -градусной.

Численное интегрирование системы (1) в постоянной работе ограничивается определением зависимости  $\omega_n(\varepsilon)$  в области  $0.1 < \varepsilon < 1$  для нескольких значений вращающегося поля, лежащих в области  $1 < H_r < 5$ . На рис. 1 представлено несколько расчетных кривых зависимостей  $\omega_n(\varepsilon)$  при различных амплитудах вращающегося поля



**Рис. 1.** Зависимость частоты нуклеации  $\omega_n$  первой ГБЛ в структуре СДГ от отношения ширины ГБЛ к толщине пленки для указанных значений амплитуд магнитного поля  $H_r$ , вращающегося в плоскости пленки, и параметра затухания Гильберта  $\alpha$ .

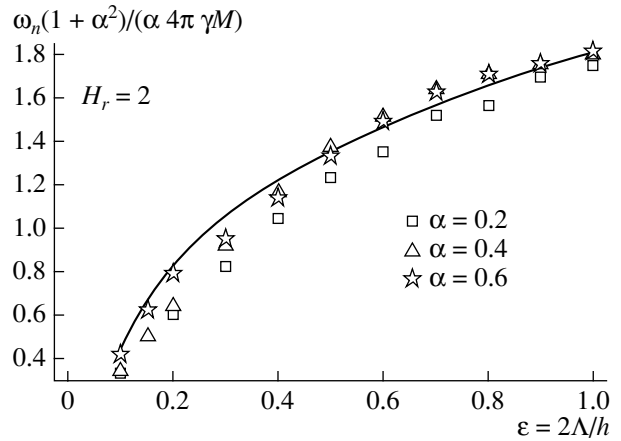
$H_r$  для параметра затухания Гильберта  $\alpha = 0.4$ . Как следует из [7], см. также [9–12], с ростом  $\varepsilon$  происходит подавление скрученности и переход к пространственно одномерной структуре. В соответствии с этими результатами представленные на рис. 1 зависимости  $\omega_n(\varepsilon)$  с ростом  $\varepsilon$  в среднем растут и стремятся к своим одномерным пределам  $\omega_c(H)$  (см. (2)), отмеченным на рис. 1 горизонтальными отрезками прямых справа. Однако этот рост не является монотонным, характер отклонений от монотонности зависит от амплитуды  $H_r$  вращающегося магнитного поля, причем с ростом  $H_r$  при  $\varepsilon = \text{const}$  частота  $\omega_n$  возрастает. Сходное поведение  $\omega_n(\varepsilon)$  было обнаружено и при значениях  $\alpha = 0.2, 0.6$ .

### 3. ТЕОРЕТИЧЕСКАЯ ИНТЕРПРЕТАЦИЯ

Введем в уравнения (1) ранее упоминавшуюся зависимую переменную  $\Phi = \psi - \omega t$ , предполагая, что движение имеет вид (3). Усреднение по времени и толщине пленки (область  $-1 < z < 1$ ), которое ниже обозначается угловыми скобками  $\langle \dots \rangle$ , линейного уравнения (1.1) показывает, что средняя скорость СДГ связана с частотой вращающегося поля соотношением (2)

$$\dot{q}_{00} = -\omega/\alpha, \quad (4)$$

которое справедливо при  $\omega < \omega_n$  независимо от используемых в дальнейшем приближений. Справедливость (4) была подтверждена численными расчетами при различных значениях параметров, входящих в (1), в том числе и при  $\omega = \omega_n$ . (Отметим, что в случае продвижения СДГ полем  $H_z$  соотношение (4) заменяется на  $\dot{q}_{00} = H_z/\alpha$ .) В свою



**Рис. 2.** Приведение расчетных данных частоты нуклеации  $\omega_n$  к универсальной кривой для различных значений параметра затухания Гильберта  $\alpha$ .

очередь усреднение (1.2) после исключения  $\dot{q}_{00}$  с помощью (4) приводит вместо соответствующей формулы в (2) к выражению

$$\omega = -\frac{\alpha}{1 + \alpha^2} \langle H_y(z) \cos(\Phi + \omega t) + H_r \sin \Phi \rangle, \quad (5)$$

где в угловых скобках стоит правая часть (1.2) в приближении  $H_r > 1$ , выраженная через  $\Phi(z, t)$ , с учетом обращения обменного члена в нуль в силу граничных условий. В принципе (5) позволяет определить по известной функции  $\Phi(z, t)$  частоту нуклеации как максимальное значение правой части. В пределе очень больших  $H_r$  формула (5) совпадает с (2) и по смыслу вывода, такое же совпадение имеет место в пределе очень тонких пленок  $\varepsilon > 1$ . Представление (5) позволяет сделать качественный вывод о том, что в случае малости осцилляционных членов в (3) с ростом  $H_r$  или  $\varepsilon$  частота нуклеации  $\omega_n$  в среднем должна возрастать.

Из (5) следует, что явная зависимость кривых  $\omega_n(\varepsilon)$  от параметра затухания Гильберта  $\alpha$  сводится к  $\sim \alpha/(1 + \alpha^2)$ . Напомним, что такая же зависимость характерна для одномерного случая, когда  $\omega_c = H_r \alpha / (1 + \alpha^2)$ , см. (2). На рис. 2 представлены вычисленные по решениям (1) при  $H_r = 2$  зависимости  $\omega_n(\varepsilon)(1 + \alpha^2)/\alpha$  для случаев  $\alpha = 0.2, 0.4$  и  $0.6$ , которые группируются, как показывает рисунок, вблизи некоторой кривой, что подтверждают ведущую роль первого множителя в (5). Однако такое поведение наблюдается только в области умеренно больших полей; с повышением поля  $H_r$  зависимости  $\omega_n(\varepsilon)$  становятся немонотонными (см. рис. 1) и данные для различных  $\alpha$  уже не приводятся к одной универсальной кривой, как в случае  $H_r = 2$  на рис. 2.

Попытаемся объяснить вид кривой  $\omega_n(\varepsilon)$ , исходя из одномерной формулы (2) для  $\omega_c$  и известных

представлений о перестройке внутренней структуры СДГ в планарных магнитных полях, происходящих с участием ГБЛ. Статический порог возникновения 360-градусных ГБЛ в области  $z \approx 0$  СДГ, согласно [7, 8], невелик по сравнению с амплитудами вращающегося поля  $H_r/8M > 1$ , составляя всего  $H/8M \sim a\varepsilon$  ( $a$  – константа порядка единицы,  $\varepsilon \ll 1$ ). Поэтому данный процесс не может быть ответствен за нуклеацию ГБЛ при  $\omega_n$ . Более приемлемым представляется другой процесс, происходящий в более высоких полях, перпендикулярных плоскости СДГ, через нуклеацию ГБЛ у одной из поверхностей пленки [13].

В [13] соответствующее поле нуклеации было оценено вариационным методом с точностью до “большого логарифма”  $\sim \ln \varepsilon$ , что оказывается недостаточным для целей настоящей работы и требует уточнения. Поправка к функционалу энергии, отвечающего правой части уравнения (1.2), за счет возмущения  $\delta\psi(z)$  неелевской конфигурации  $\psi_0 = \pi/2$  имеет вид

$$\delta E = \int_{-1}^1 dz \delta\psi(z) \left[ -\varepsilon^2 \frac{d^2}{dz^2} + H_r - 1 + \operatorname{arth}(z) \right] \delta\psi(z). \quad (6)$$

Полагая, что ГБЛ зарождается у нижней поверхности пленки  $z = -1$ , выбираем пробную функцию в прежнем виде [13] –  $\delta\psi = N \exp[-(1+z)^2/(2b^2)]$ , где  $b$  – вариационный параметр. В интеграле (6) в силу быстрого убывания  $\delta\psi(z)$  можно расширить верхний предел до бесконечности и вблизи  $z_0 = -1$  воспользоваться разложением

$\operatorname{arth}(z) = \frac{1}{2} \ln \frac{1+z}{2} + \frac{1+z}{4} \dots$ . Для области  $-1 < z < \infty$  имеем нормировочный множитель  $N = (2/(b\pi^{1/2}))^{1/2}$ . Взятие табличных интегралов в (6) дает:

$$\delta E = \varepsilon^2/2b^2 + H_r - 1 + (-\gamma_E - 4 \ln 2 + 2 \ln b)/4 + b/(4\sqrt{\pi}), \quad (7)$$

где  $\gamma_E = 0.577 \dots$ . Минимизация этого выражения по  $b$  дает с точностью до  $\varepsilon^2$ :  $b \approx 2^{1/2} \varepsilon (1 + \varepsilon/(4(2\pi)^{1/2}))$ . После подстановки найденного выражения в (7) из условия  $\delta E = 0$  получаем, опуская вклады  $\sim \varepsilon^2$ , выражение

$$H_{crit}(\varepsilon) = 1.41 - \frac{\ln \varepsilon}{2} - \frac{9\varepsilon}{16\sqrt{2\pi}}. \quad (8)$$

Теперь одномерную формулу (2) для критической частоты можно попытаться обобщить на случай зарождения ГБЛ в СДГ следующим образом

$$\omega_n(\varepsilon) = \frac{\alpha}{1 + \alpha^2} (H_r - H_{ef}(\varepsilon)), \quad (9)$$

где эффективное поле зарождения ГБЛ  $H_{ef}(\varepsilon) = H_{crit}(\varepsilon) + \text{const}$ . Константа в этом выражении яв-

ляется подгоночным параметром, необходимым в связи с тем, что (8) получено в чисто статическом приближении, предполагающем перпендикулярность внешнего поля плоскости СДГ и не учитывающем отставания ее структуры от вращающегося поля, что имеет место в динамическом случае. Отметим также, что полуэмпирическая по своему характеру формула (9) справедлива только для монотонных зависимостей  $\omega_n(\varepsilon)$  типа нижней кривой на рис. 1. Кривая, получающаяся при  $\text{const} = -1$ , как видно из рис. 2, удовлетворительно описывает расчетные данные.

#### 4. ОБСУЖДЕНИЕ И ЗАКЛЮЧЕНИЕ

Рассмотренный в настоящей работе механизм дрейфа СДГ по существу тот же, что и для одномерных ДГ [5]: увлечение спинов, локализованных внутри СДГ, вращающимся в плоскости пленки магнитным полем. Однако ограничение стационарного продвижения СДГ с повышением частоты вращения возникает вследствие зарождения 360-градусных ГБЛ, а не перехода в прецессионный режим, как в одномерном случае.

Основные результаты работы представлены на рис. 1 построенными в результате численных расчетов зависимостями частоты  $\omega_n$ , при которой происходит образование первой ГБЛ, от  $\varepsilon$  – отношения ширины ГБЛ к толщине пленки (критически важного в теории СДГ параметра) при нескольких значениях амплитуд вращающегося поля и параметров затухания. Частоты нуклеации ГБЛ во вращающемся поле лежат ниже частот, ограничивающих стационарный режим в одномерном случае [5]; переход к одномерному поведению наблюдается в области  $\varepsilon > 1$ .

В случае немонотонных зависимостей  $\omega_n(\varepsilon)$  попытка теоретической интерпретации сталкивается с трудностями, поскольку, как показывают наблюдения за результатами численных расчетов, на границе стационарного режима движения имеет место множественное рождение ГБЛ. При монотонных зависимостях  $\omega_n(\varepsilon)$  (в области умеренных значений амплитуд вращающегося поля) в работе показано (см. рис. 2), что основная зависимость  $\omega_n(\varepsilon)$  от параметра затухания совпадает с имеющей место в одномерном случае [5]. Для этого же диапазона амплитуд поля предложена полуэмпирическая формула (9), описывающая зависимость  $\omega_n(\varepsilon)$  в диапазоне  $0.1 < \varepsilon < 1$ .

Приведем в заключение оценки параметров дрейфа СДГ в феррит-гранатовой пленке с  $4\pi M \sim 100$  Гс,  $\gamma \sim 10^7$  рад/с,  $\alpha \sim 0.2$ ,  $\Delta \sim 5 \times 10^{-6}$  см,  $\varepsilon = 2\Delta/h > 0.1$ ,  $H_r/8M = 2$ . В этих условиях  $H_r \sim 120$  Э и, согласно (2),  $\omega_c \sim 8 \times 10^8$  рад/с. Из данных рис. 1 следует, что  $\omega_n$  в зависимости от  $\varepsilon$  составляет несколько десятых от  $\omega_c$ . Максимальная скорость

ДГ  $-\dot{q}_c = \omega_c \Delta / \alpha \sim 4 \times 10^4$  см/с, так что для СДГ  $|\dot{q}_n|$  порядка нескольких десятых от  $|\dot{q}_c|$ . Следует учесть, однако, что на критическую частоту (и скорость) существует еще ограничение снизу из-за присутствия поля коэрцитивности ДГ  $-H_0$ , которое в указанных материалах  $\geq 0.1$  Э. Под действием поля  $H_z$ , перпендикулярного плоскости пленки, движение СДГ со скоростью  $\dot{q} = \gamma \Delta H_z / \alpha$  происходит, если  $H_z > H_0$ . Отсюда на частоту вращающегося поля налагается требование  $\omega > \omega_0 = \gamma H_0$ .

## СПИСОК ЛИТЕРАТУРЫ

1. Малоземов А., Слонзуски Дж. Доменные стенки в материалах с ЦМД. М.: Мир, 1982. 382 с.
2. Schloemann E. Theory of Domain Wall Motion Induced by Microwave Fields // IEEE Trans. Magn. 1974. V. MAG-10. № 4. P. 1051–1056.
3. Елеонский В.М., Звездин А.К., Редько В.Г. Влияние быстро осциллирующего магнитного поля на доменную структуру ферромагнетиков // ФММ. 1977. Т. 43. Вып. 1. С. 7–14.
4. Барьяхтар В.Г., Горобец Ю.И., Денисов С.И. Дрейф доменных границ в осциллирующем магнитном поле // ЖЭТФ. 1990. Т. 98. Вып. 4. С. 1345–1353.
5. Ходенков Г.Е. Поступательное движение доменной границы (ДГ) в сильном магнитном поле, поляризованном циркулярно в базисной плоскости одноосного ферромагнетика // ФТТ. 2006. Т. 48. Вып. 5. С. 835–840.
6. Ходенков Г.Е. Двухчастотное возбуждение дрейфа ДГ в одноосных ферромагнетиках с большой константой анизотропии // ФММ. 2007. Т. 103. Вып. 3. С. 238–243.
7. Hubert A. Statics and Dynamics of Domain Walls in Bubble Materials // J. Appl. Phys. 1975. V. 46. № 10. P. 2276–2287.
8. Гуревич А.А., Моносов Я.А. Изучение структуры границы между доменами в слабом магнитном поле // ФТТ. 1976. Т. 18. Вып. 10. С. 2897–2906.
9. Танкеев А.П., Страшиников О.Г. Влияние поверхности на свойства доменных границ в пластинах ЦМД материалов // ФММ. 1982. Т. 53. Вып. 2. С. 257–266.
10. Ходенков Г.Е. Скрученная доменная граница в очень тонких магнитных пленках с перпендикулярной анизотропией // ФММ. 1984. Т. 58. Вып. 1. С. 37–41.
11. Ходенков Г.Е. Нестационарная динамика слабо-скрученной доменной границы // ФММ. 1996. Т. 81. Вып. 1. С. 44–51.
12. Ходенков Г.Е. Критические скорости скрученной доменной границы в очень тонких магнитных пленках // Письма в ЖТФ. 2003. Т. 29. Вып. 4. С. 58–62.
13. Ходенков Г.Е. Переход неелевской ДГ в скрученную в магнитном поле и ВБЛ в магнитных пленках с перпендикулярных анизотропией // ФММ. 1988. Т. 65. Вып. 6. С. 1059–1067.